

Construction Métallique

07- Vérification au flambement en compression simple



ISA BTP

ÉCOLE D'INGÉNIEURS



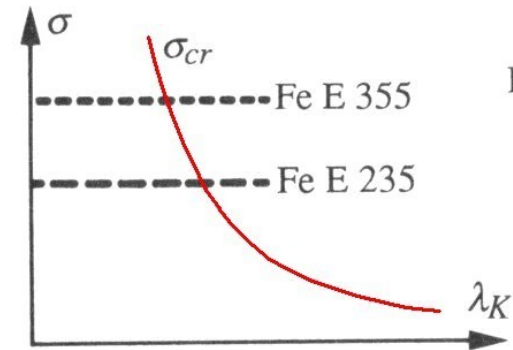
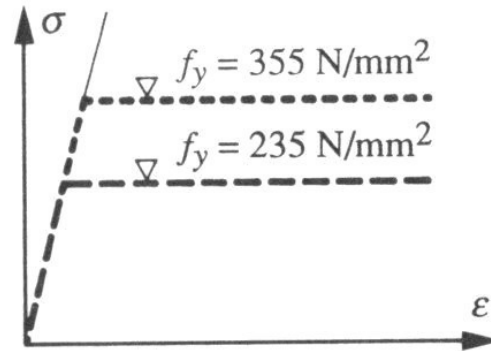
Cette barre a flambé

- <http://www.qualiteconstruction.com/>
- <http://www.gramme.be/>
- <http://www.bastison.net>
- <http://www.bainieretudes.com/>



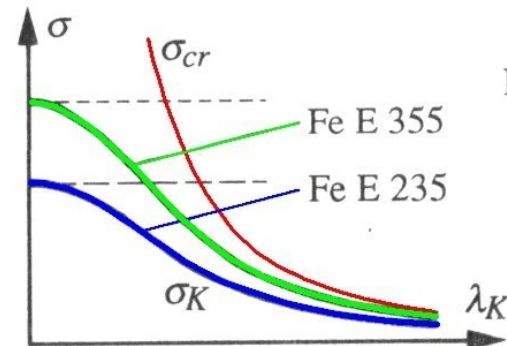
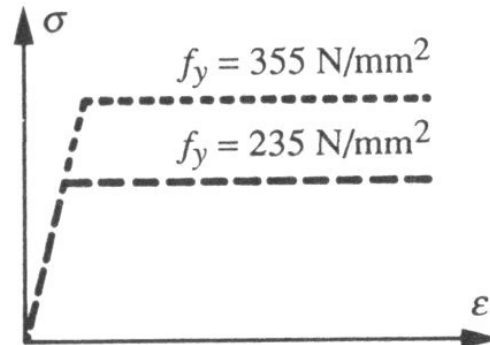
- Hyperbole d'Euler :
Courbes $\sigma_{cr}=f(\lambda)$**

Acier : diagramme
 σ - ε idéalisé.



Barre idéale.

Acier : diagramme
 σ - ε idéalisé.



Barre industrielle.

- Il faut vérifier :

- avec

C :

- Classe 1, 2, 3 :

- Classe 4 :

- Remarque :

- On peut noter qu'en prenant $\chi=1$, les formules sont pratiquement ($\gamma_{M0} \Leftrightarrow \gamma_{M1}$) identiques à celles que l'on utilise pour vérifier la tenue des sections à l'ELU ($N_{b,Rd} = N_{c,Rd}$, cf. CM06).

$$\frac{N_{Ed}}{N_{b,Rd}} \leq 1$$

$$N_{b,Rd} = \frac{A \cdot f}{\gamma_{M1} \chi}$$

$$N_{b,Rd} = \frac{A_{eff} \cdot f}{\gamma_{M1} \chi}$$

γ_{M1} : Coefficient partiel des barres aux instabilités (En France $\gamma_{M1} = 1.1$)
 χ : Coefficient de réduction pour le mode de flambement

• Détermination du coefficient de réduction χ :

fonction de :

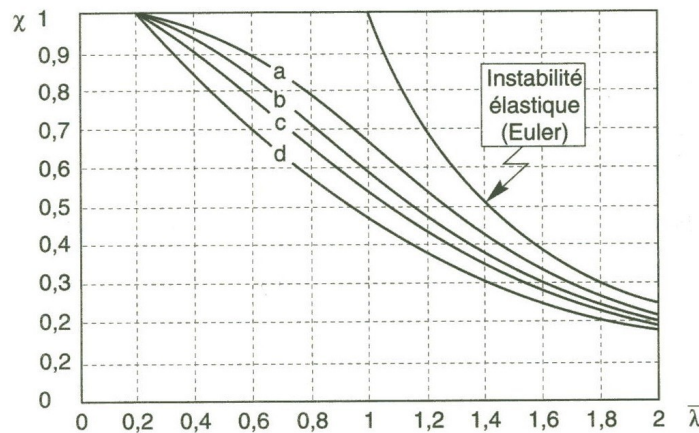
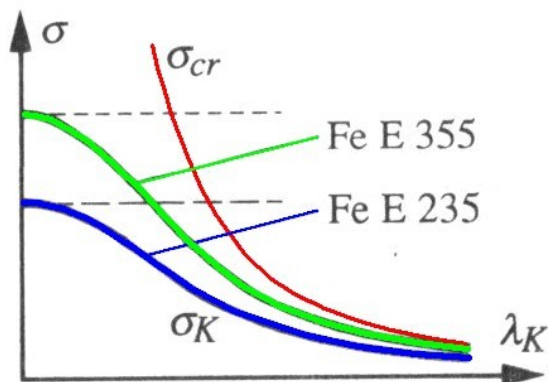
$$\lambda^* = \frac{f}{N}$$

- l'élancement réduit

$$\frac{f}{N}$$

- un coefficient α fonction d'une courbe de flambement dépendant de :

- ✓ La forme de la section du poteau
- ✓ Les dimensions de la



$N_k = \frac{\pi^2 E I_z}{\lambda_k^2}$: Charge critique de flambement.

L'élancement réduit λ^* peut aussi être défini par :

$$\lambda^* = \lambda \sqrt{\frac{f_y}{E}}$$

$$\lambda_1 = \frac{\pi \sqrt{E}}{f_y}$$

$$\lambda_1 = 93,91 \sqrt{\frac{E}{f_y}}$$

MPa

• Détermination du coefficient de réduction χ :

▪ courbe de

— — — — —

Section transversale		Limites		Flambement Selon l'axe	Courbe de flambement	
Sections en I laminées		$h/b > 1,2$	$t_f \leq 40 \text{ mm}$		S 235 S 275 S 355 S 420	S 460
				y-y z-z	a b	a ₀ a ₀
		$h/b \leq 1,2$	$40 \text{ mm} < t_f \leq 100$	y-y z-z	b c	a a
			$t_f \leq 100 \text{ mm}$	y-y z-z	b c	a a
Sections en I soudées		$t_f \leq 40 \text{ mm}$		y-y z-z	b c	b c
		$t_f > 40 \text{ mm}$		y-y z-z	c d	c d

• Exemple IPE 400 (S355):

- $h=400\text{mm}$ et $b=180\text{mm}$,
- $h/b=2,22 \geq 1,2$
 $t_f=13,5 < 40\text{mm}$
- Autour de l'axe fort y-y => courbe de flambement a
-

Autour de l'axe faible z-z => courbe de flambement b

Section transversale	Limites	Flambement Selon l'axe	Courbe de flambement	
			S 235 S 275 S 355 S 420	S 460
Sections creuses 	Finies à chaud	Quelconque	a	a_0
	Formées à froid	Quelconque	c	c
Sections en caisson soudées 	En général (sauf comme indiqué ci-dessous)	Quelconque	b	b
	Soud. épaisses : $a > 0,5 t_f$ $b/t_f < 30$ $h/t_w < 30$	Quelconque	c	c
Sections en U, T et pleines 		Quelconque	c	c
Sections en L 		Quelconque	b	b

• Exemple tube carré formé à froid (S355):

- Autour de l'axe fort y-y et de l'axe faible z-z => courbe de flambement c

• Exemple Cornière en L (S355):

- Autour de l'axe fort y-y et de l'axe faible z-z => courbe de flambement b

• Détermination du coefficient de réduction χ :

Calcul par :

$$\Phi = 0,5 \cdot [1 + \alpha \cdot \frac{A_{ec}}{A_{ec}}]$$

$$(\lambda_{ec} \leq 0,2)$$

Tab.6.3 : Facteur d'imperfection

Courbes de flambement	a_0	a	b	c	d
Facteur d'imperfection α	0,13	0,21	0,34	0,49	0,76

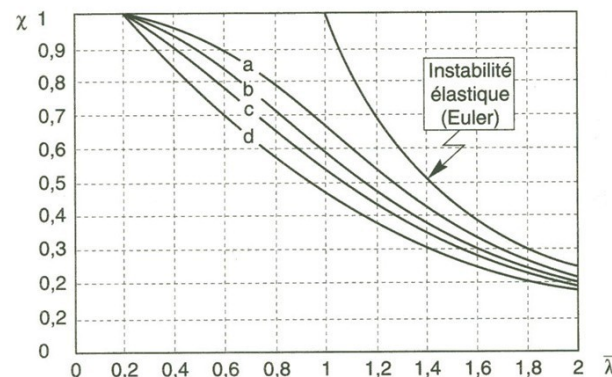


Fig.6.4 : Allures des courbes de flambement

$$\chi = \frac{1}{\Phi + \sqrt{\Phi^2 - \lambda_{ec}^2}} \quad \text{et} \quad \chi < 1$$

Le calcul est mené autour de l'axe fort **ET** autour de l'axe faible, aboutissant à la détermination de χ_y et

χ_z

On gardera :

$$\chi_{min} = \min(\chi_y, \chi_z)$$

la valeur de l'élanement le plus fort

$$\lambda_{max} = \max(\lambda_y, \lambda_z)$$

• Remarques :

- Dans le cas d'un chargement inférieur à la valeur de la charge critique de flambement, il n'y a théoriquement pas de risque de flambement ; pourtant l'EC3
- fixe une valeur limite à 4% de la charge critique (pour les éléments élancés) Dans le cas d'une poutre faiblement élancée, le risque de flambement est limité à une valeur de l'élancement réduit inférieure à 0,2.

λ^-
=> dans ces deux cas, la vérification à l'ELU se réduit à une vérification d'un dimensionnement suffisant de la section du poteau

Voir organigramme de calcul d'un poteau en compression simple =>

Effort axial de compression N

$$N_{Ed} \leq N_{b,Rd} = \chi \cdot \beta_A \cdot \frac{A \cdot f_y}{\gamma_M}$$

Non

$$\bar{\lambda} \geq 0,2 \text{ et } \frac{N_{Ed}}{N_k} > 0,04$$

Oui

Pas de risque de flambement

Risque de flambement simple

$$\chi = 1$$

Calcul de χ

Classes de sections

Classes de sections

Classe 1,2,3

Classe 4

Classe 1,2,3

Classe 4

$$\beta_A = 1, \gamma_M = \gamma_{M0}$$

$$\beta_A = \frac{A_{eff}}{A}, \gamma_M = \gamma_{M1}$$

$$\beta_A = 1, \gamma_M = \gamma_{M1}$$

$$\beta_A = \frac{A_{eff}}{A}, \gamma_M = \gamma_{M1}$$

$$N_{b,Rd} = N_{pl} = \frac{A \cdot f_y}{\gamma_{M0}}$$

$$N_{b,Rd} = \frac{A_{eff} \cdot f_y}{\gamma_{M1}}$$

$$N_{b,Rd} = \chi \cdot \frac{A \cdot f_y}{\gamma_{M1}}$$

$$N_{b,Rd} = \chi \cdot \frac{A_{eff} \cdot f_y}{\gamma_{M1}}$$

CONTACT

Philippe MARON

ISABTP - UPPA

philippe.maron @univ-
pau.fr



ISA BTP
ÉCOLE D'INGÉNIEURS

